Автономная некоммерческая образовательная организация высшего образования "Сколковский институт науки и технологий"

Шевцова Анна Александровна

# ЗАКОНОМЕРНОСТИ ПОВЕДЕНИЯ ТРЕЩИНЫ ГИДРОРАЗРЫВА ГОРНЫХ ПОРОД, ИНИЦИИРОВАННОЙ ЗАКАЧКОЙ ЖИДКОСТЕЙ С ШИРОКИМ ДИАПАЗОНОМ РЕОЛОГИЧЕСКИХ СВОЙСТВ

Специальность 2.8.6 — «Геомеханика, разрушение горных пород, рудничная аэрогазодинамика и горная теплофизика»

Автореферат диссертации на соискание ученой степени кандидата технических наук

Научный руководитель к.т.н., профессор Алексей Николаевич Черемисин

#### ОБЩАЯ ХАРАКТЕРИСТИКА РАБОТЫ

Актуальность работы. В настоящее время гидравлический разрыв пласта (ГРП) является одним из наиболее эффективных методов как для стимулирования добычи углеводородов ИЗ низкопроницаемых продуктивных пластов нетрадиционных коллекторов, так и для интенсификации продуктивности скважин на завершающих стадиях разработки. Кроме того, в последние годы геотермальные энергетические ресурсы приобретают всё большие перспективы развития благодаря огромному потенциалу и экологичности. Горячая сухая порода (Hot Dry Rock), представляющая собой плотный и низкопроницаемый горный массив, требует применения метода гидравлического разрыва для создания системы разветвленных и взаимосвязанных трещин с целью последующего увеличения площади теплообмена, которая известна как усовершенствованная геотермальная система (Enhanced Geothermal System). Кроме того, технология гидроразрыва используется в горном деле для снижения опасных напряжений в массиве вокруг горных выработок при добыче угля и является основным методом измерения напряжений в пласте в проектах, связанных с добычей полезных ископаемых. В дополнение к уже описанным областям применения, эта технология используется для разработки метана в угольных пластах и для захоронения отходов.

Однако, в последнее десятилетие было отмечено, что доступные и широко применяемые жидкости гидроразрыва на водной основе оказывают существенное негативное воздействие на свойства пород коллектора (а также на эффективность операций гидроразрыва) и вызывают набухание глинистой компоненты, блокируют поровое пространство, формируют устойчивые эмульсии с пластовыми жидкостями, что привело к тенденции совершенствования технических характеристик существующих жидкостей для инициации трещин гидроразрыва и разработке новых. К тому же, описанные ранее теоретические модели распространения трещины гидроразрыва имеют некоторые ограничения в прогнозировании влияния жидкостей на свойства пород резервуара, а прямые измерения параметров трещины гидроразрыва в пластовых условиях весьма затруднительны.

что Не стоит забывать, апробация и усовершенствование технологии гидроразрыва в пластовых условиях (in-situ), в целевом резервуаре является достаточно сложной и дорогостоящей процедурой. В то же время, в лабораторных условиях инициация трещин гидроразрыва на образцах, отобранных из целевого резервуара, позволяет подобрать оптимальную жидкость гидроразрыва и условия ее закачки, произвести прямые измерения раскрытия трещины, проанализировать топографию поверхности (стенки) трещины гидроразрыва, что в совокупности со степенью раскрытия трещины, может существенно влиять на подбор проппанта для его успешной доставки в созданную сеть трещин и последующего закрепления трещин в открытом состоянии. Таким образом, лабораторные эксперименты можно рассматривать как разумную альтернативу для тестирования новых жидкостей и новых методов, поскольку они могут предоставить исчерпывающую информацию о результирующих параметрах созданной трещины (эффективное давление гидроразрыва, раскрытие трещины, скорость роста трещины) перед внедрением новой технологии гидроразрыва пласта в полевых условиях, что определяет актуальность темы исследования.

Данная работа посвящена экспериментальному выявлению зависимостей между параметрами трещины гидроразрыва и вязкостью жидкости, инициирующей трещину, в условиях псевдо-трехосного и истинно трехосного нагружения.

Экспериментальные данные, использованные для написания данной диссертации, были получены автором в рамках программы развития исследовательского центра мирового уровня «Рациональное освоение запасов жидких углеводородов планеты» в соответствии с соглашением № 075-10-2020-119 и соглашением № 075-10-2022-011.

**Целью** данного исследования является установление взаимосвязей между параметрами трещины гидроразрыва и вязкостью жидкости, инициирующей трещину в низкопроницаемых горных породах, для последующего выбора жидкости в зависимости от свойств пород и конкретных технологических задач.

**Идея работы** заключаются в исследовании параметров трещин гидроразрыва в образцах горных пород с помощью высокоточных многоканальных акустоэмиссионных и механических измерений в процессе закачки модельных и применяемых в полевых операциях жидкостей с диапазоном вязкостей от 0.1 сП до 100 000 сП.

Для достижения заявленной цели были сформулированы и выполнены следующие задачи:

- 1. Разработка специальной методики проведения лабораторных экспериментов гидроразрыва в цилиндрических образцах горной породы (10 см×10 см) и в кубических образцах горной породы (25 см×25 см) с обеспечением непрерывного мониторинга параметров роста трещины гидроразрыва тремя независимыми системами наблюдения: датчиками акустической эмиссии и ультразвукового прозвучивания; датчиками осевой и радиальной деформации образца горной породы и датчиками давления и объема жидкости гидроразрыва в псевдо-трехосных и истинно трехосных условиях нагружения.
- 2. Установление взаимосвязи параметров трещины гидроразрыва и динамики её распространения с вязкостью, инициирующей трещину жидкости, в псевдо-трехосных условиях нагружения.
- 3. Установление взаимосвязи характеристик поверхности трещины гидроразрыва (извилистости, шероховатости) с вязкостью, инициирующей трещину жидкости.
- 4. Установление взаимосвязи параметров трещины гидроразрыва и динамики её распространения с вязкостью, инициирующей трещину жидкости, в истинно трехосных условиях.

#### Основные научные положения и их новизна:

- 1. Показано, что прямые и независимые измерения ключевых параметров трещины гидроразрыва и комплексный анализ динамики её распространения в образцах горных пород возможно осуществлять в лабораторных условиях, соответствующих условиям естественного залегания, на основе разработанной специальной методики физического моделирования инициации и распространения трещины с непрерывным мониторингом независимыми друг от друга датчиками деформаций образца, датчиками давления и объема жидкости гидроразрыва, высокочувствительными пьезоэлектрическими датчиками акустической эмиссии (АЭ) оригинальной конструкции, способными работать при всестороннем давлении до 140 МПа и температуре до 180°С при частоте дискретизации 10 МГц, что по локализации АЭ-событий обеспечивает точность определения формы трещины около 5 мм.
- 2. Увеличение вязкости жидкости, инициирующей трещину гидроразрыва, способствует уменьшению извилистости стенок трещины, что совместно с большим

раскрытием является наиболее благоприятным для эффективной доставки и распределения проппанта, обеспечивающего долгосрочное раскрытие трещины гидроразрыва в горных породах.

3. При псевдо-трехосном нагружении цилиндрических образцов (10 см ×10 см) и истинно трехосном нагружении кубических образцов (25 см×25 см×25 см) возрастание вязкости закачиваемой жидкости приводит к увеличению раскрытия трещины, увеличению эффективного давления гидроразрыва и уменьшению скорости роста трещины, что может быть использовано для экспериментальной проверки моделей, описывающих трещины гидроразрыва, а также при проектировании гидроразрыва горных пород в условиях естественного залегания.

Обоснованность и достоверность выдвинутых положений и выводов обеспечена:

- применением проверенных современных методик экспериментальных исследований;
- воспроизводимостью и непротиворечивостью полученных данных общим законам физики, теории прочности и акустики, а также ранее опубликованным результатам;
- представительным количеством выполненных экспериментов, полученных с использованием разработанной экспериментальной методики;
- удовлетворительным совпадением результатов обработки и интерпретации геомеханических данных, описывающих параметры трещины гидроразрыва, с результатами регистрации сигналов акустической эмиссии;
  - апробацией результатов на международных конференциях.

**Методы исследований включали** анализ и обобщение литературных источников, лабораторное экспериментальное моделирование гидроразрыва на цилиндрических и кубических образцах горных пород с определением ключевых параметров (эффективное давление гидроразрыва, раскрытие трещины, скорость роста трещины) и динамики развития трещин по локации акустико-эмиссионных событий, обработку, интерпретацию и анализ полученных данных.

**Научное значение работы** состоит в установлении полученных впервые взаимосвязей между параметрами трещины гидроразрыва и вязкостью жидкости, инициирующей эту трещину, для исследованных горных пород на разных масштабных уровнях в псевдо-трёхосных и истинно трехосных условиях при использовании жидкостей в широком диапазоне вязкостей от 0.1 сП до 100 000 сП.

**Практическая значимость и реализация результатов исследования** состоит в разработке методических рекомендаций по оптимизации операций гидроразрыва пласта на основе полученных в лабораторных условиях результатов экспериментов по инициации трещины гидроразрыва на образцах горных пород.

**Апробация работы.** Основные тезисы и результаты диссертационной работы были представлены на следующих конференциях и научно-практических семинарах: (1) SPE Russian Petroleum Technology Conference, Moscow, Russia, October **2018**; (2) EGU General Assembly 2020, Online, 4–8 May **2020**; (3) I<sup>st</sup> International Scientific and Practical Conference «Modern Methods of Enhanced Oil Recovery for Conventional and Unconventional Reservoirs. November 29<sup>th</sup> – December 1<sup>st</sup>, 2021. Moscow, Russia.

**Публикации.** По теме диссертации опубликовано: 1 статья в изданиях, рекомендованных ВАК Минобрнауки России, 3 статьи в изданиях WoS квартиля Q2 по SJR и 3 тезиса, индексируемых в наукометрических базах Web of Science и Scopus.

Структура и объём работы. Диссертационная работа состоит из введения, 5 глав, заключения, изложенных на 178 страницах машинописного текста, включает 116 рисунков, 28 таблиц, список источников из 185 наименований.

Автор выражает глубокую благодарность и признательность к.ф.-м.н. Станчицу С.А. (Институт физики Земли им. О. Ю. Шмидта) за содержательные консультации и поддержку, а также бесценную помощь в реализации данного исследования. Также автор хотел бы поблагодарить за ценные рекомендации своего научного руководителя профессора Сколковского института науки и технологий к.т.н. Черемисина А.Н., директора центра науки и технологий добычи углеводородов Сколтеха к.х.н., проф. Спасенных М.Ю., д.т.н., проф. Магадову Л.А. (РГУ нефти и газа им. И.М. Губкина), к.т.н. Бородина С.А. (РГУ нефти и газа им. И.М. Губкина). Автор также благодарен своим коллегам: Стукачеву В.И., Эфстадиу В.А., Липатову Н.В., Бобровой М.А., Филеву Е.А. за возможность осуществления экспериментальной части исследования, а также сотрудникам Центра науки и технологий добычи углеводородов за помощь, оказанную при работе над диссертацией. Особую благодарность автор выражает своей семье за своевременную поддержку и помощь.

#### ОСНОВНОЕ СОДЕРЖАНИЕ РАБОТЫ

В первой главе дается обзор актуальных научных публикаций о проблемах гидроразрыва пласта и существующих жидкостях для инициации трещин гидроразрыва, их альтернативах и разнообразии компонентов, разработанных за последние десятилетия для совершенствования технологий ГРП.

Анализ литературных источников, показал, что несмотря на широкое применение технологии гидроразрыва пласта, экспериментальные исследования для выявления особенностей роста трещины гидроразрыва в целевых породах коллектора и выявления зависимостей параметров трещины от реологических свойств закачиваемой жидкости все еще изучены недостаточно. Следует выделить отечественных ученых, публикации которых посвящены исследованиям трещины гидроразрыва: Станчиц С.А., Турунтаев С.Б., Смирнов В.Б., Попов С.Н., Коврижных А.М., Курленя М.В., Леонтьев А.В., Сердюков С.В., Патутин А.В. и др., а также разработке жидкостей гидроразрыва: Силин М. А., Магадова Л.А., Бородин С.А. и др. Среди иностранных исследователей стоит выделить: Zoback M. D., Rummel F., Goodfellow S. D., Maxwell S. C., Suarez-Rivera, R., Ghassemi, A., Zhang J., Yang R. и др. Апробация и усовершенствование технологии гидроразрыва в пластовых условиях (in-situ), в целевом резервуаре является достаточно сложной и дорогостоящей процедурой. В то же время, в лабораторных условиях инициация трещин гидроразрыва на образцах, отобранных из целевого резервуара, позволяют подобрать оптимальную жидкость гидроразрыва и условия ее закачки, произвести прямые измерения раскрытия трещины, проанализировать поверхность трещины гидроразрыва, что в совокупности со степенью раскрытия трещины, может существенно влиять на подбор проппанта для его успешной доставки в созданную сеть трещин и последующего закрепления трещин в открытом состоянии. Поэтому такие исследования представляются перспективными, а выбранная тема работы – актуальной.

Вторая глава посвящена подробному описанию лабораторного оборудования (псевдо-трехосный пресс (МТЅ 815/S-АТМ), истинно трехосный пресс), методологии проведения экспериментов и подробной характеристике испытываемых образцов и закачиваемых жидкостей гидроразрыва. Гранит был выбран в качестве модельного материала пород нетрадиционных коллекторов после выявления близости его прочностных и фильтрационно-емкостных свойств к аналогичным свойствам сланцев. Кроме того, гранит является целевой породой для геотермальных источников энергии.

В качестве агентов гидроразрыва использовались модельные и реальные жидкости на водной и безводной основе: жидкий СО2, дистиллированная вода, линейный гель (ЛГ), минеральное масло Multitherm PG-1, жидкость на основе синтетического полимера Полигель, бесполимерная жидкость НЕФТЕНОЛ ВУПАВ, пенно-азотная система (ПАС) — вспененный сшитый гель, сшитые гели различной вязкости и состава — дизельные системы (ДС-1, ДС-2, ДС-3), силиконовые масла — полиметилсилоксановые жидкости различной вязкости (ПМС-1000, ПМС-10 000, ПМС-100 000). Диапазон вязкостей от 0.1 сП до 100 000 сП.

В третьей главе описаны основные результаты лабораторных экспериментов распространения трещины гидроразрыва в цилиндрических образцах магматических пород (Покостовский гранит, Ташмурунский гранит, трещиноватый Ташмурунский гранит) и дана подробная характеристика влияния реологии жидкости на параметры и динамику трещины. Для инициации трещины были использованы модельные и реальные агенты гидроразрыва на водной и безводной основе, вязкость которых различается в широком диапазоне (0.1 сП – 100 000 сП). Изменения давления жидкости гидроразрыва, удлинения образца, связанного с раскрытием трещины, объема закачиваемой жидкости, акустической эмиссии, излучаемой инициированной трещиной независимо регистрировались специальной трехкомпонентной системой мониторинга.

**В разделе 3.1** описаны 19 экспериментов гидроразрыва, выполненных на цилиндрических образцах Покостовского и Ташмурунского гранита. Особенности трещины гидроразрыва, инициированной закачкой маловязкой жидкости, выражены в низком давлении гидроразрыва, быстром распространении, незначительном раскрытии, более извилистой поверхности. В случае закачки высоковязкой жидкости гидравлическая трещина распространялась медленнее, деформометры регистрировали большее удлинение образца, что напрямую коррелирует с раскрытием трещины, а гидравлический разрыв происходил при большем давлении.

 $Pucyнок\ 1$  демонстрирует схему нагружения цилиндрических образцов (10см $\times 10$ см), испытываемых в псевдо-трехосных условиях.

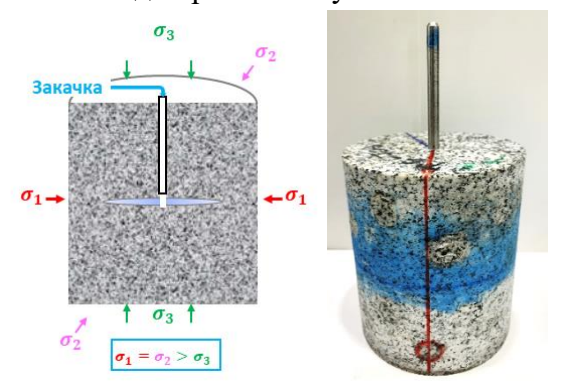


Рисунок 1. Схема нагружения образца во время эксперимента (слева) и фотография образца после эксперимента с закачкой подкрашенного агента гидроразрыва (справа).

Главное минимальное напряжение  $\sigma_3$  было приложено вертикально, тем самым трещина раскрывалась перпендикулярно  $\sigma_3$ . Ниже приведены графики, описывающие параметры трещины гидроразрыва, для цилиндрических образцов WG-707 с закачкой жидкого  $CO_2$  (вязкость  $\sim 0.13$  сП) и WG-708 с закачкой сшитого геля на основе дизельного топлива – дизельной системы 1 (ДС-1) (вязкость при 100 с<sup>-1</sup> 710 сП) (*Рисунок* 2).

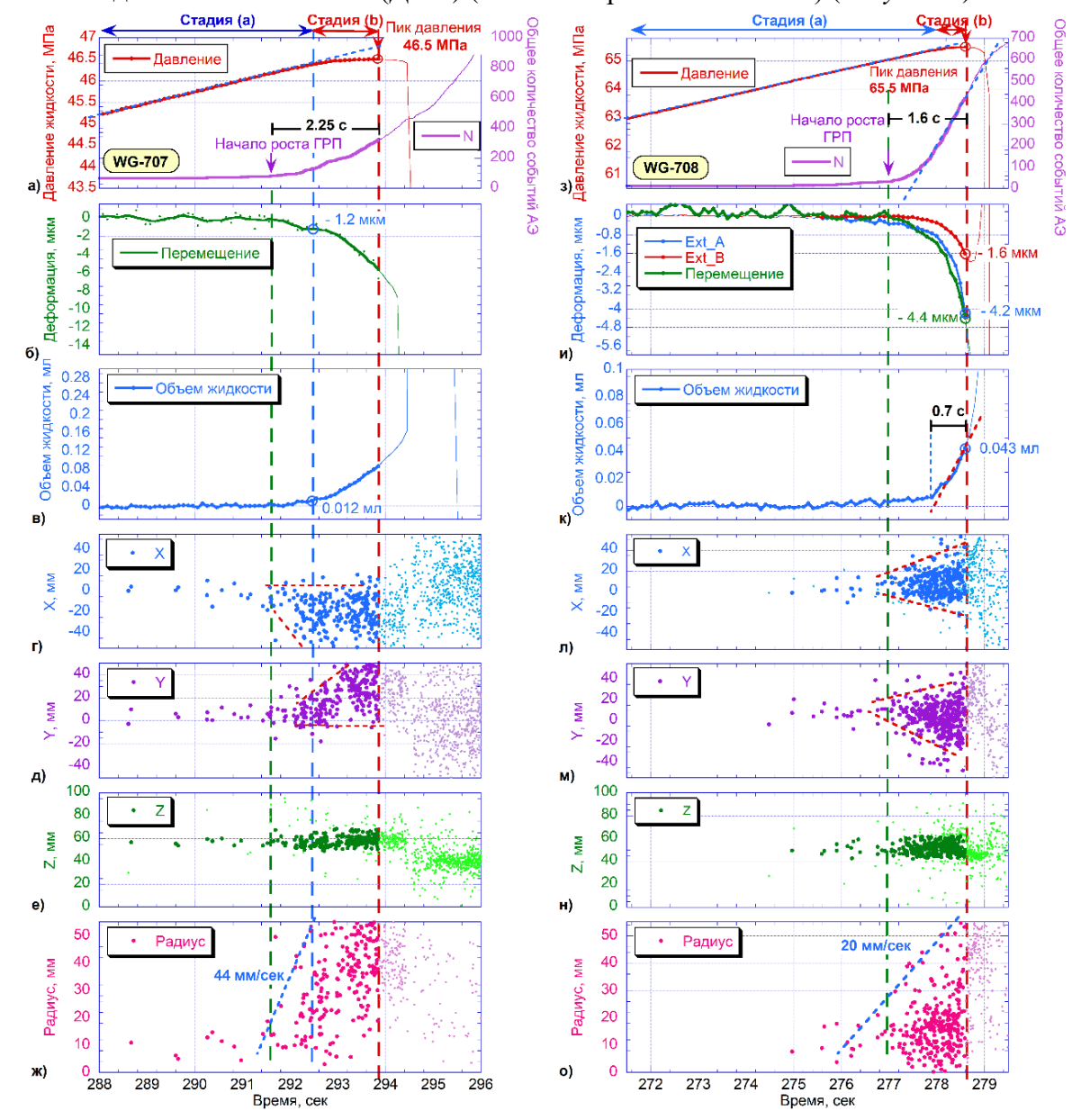


Рисунок 2. Параметры, зарегистрированные при закачке жидкого CO<sub>2</sub>, (WG-707, левая колонка) и сшитого геля ДС-1 (WG-708, правая колонка): (а),(3) давление закачанной жидкости (красный цвет) и суммарное число залоцированных сигналов АЭ (фиолетовый); (б),(и) осевая деформация, измеренная левым (красный) и правым (синий) датчиками и кривой, описывающей перемещения поршня (зеленый); (в),(к) объём жидкости в трещине гидроразрыва; (г),(л) горизонтальные координаты залоцированных сигналов АЭ по направлению X; (д),(м) горизонтальные координаты залоцированных сигналов АЭ по направлению Y; (е),(н) вертикальные координаты залоцированных сигналов АЭ; (ж),(о) распределение залоцированных сигналов АЭ от центра образца к поверхности. Все параметры построены от времени эксперимента.

Скорость закачки жидкости в экспериментах была постоянной и составляла 5 мл/мин. Для образцов было задано одинаковое напряженно-деформированное состояние

(НДС):  $\sigma_1 = \sigma_2 = 37$  МПа;  $\sigma_3 = 23$  МПа. Ключевым различием экспериментов являются реологические свойства закачиваемых жидкостей гидроразрыва. При закачке жидкого  $CO_2$  наблюдается меньшее давление гидроразрыва (*Рисунок* 2a, красная кривая), меньшее раскрытие трещины (*Рисунок* 2б), меньший объём жидкости, заполнивший трещину (*Рисунок* 2в), и бо́льшая скорость распространения трещины гидроразрыва (*Рисунок* 2ж) по сравнению с соответствующими параметрами, представленными в правой колонке графиков, зарегистрированными при закачке более вязкого агента гидроразрыва – ДС-1.

Полученные результаты демонстрируют, что в лабораторных условиях возможно осуществить прямые измерения ключевых параметров трещины гидроразрыва и выполнить экспериментальную проверку моделей, описывающих трещины гидроразрыва, инициируемые закачкой различных жидкостей.

Рисунок демонстрирует три ортогональные проекции залоцированных сигналов акустической эмиссии (АЭ) во времени, соответствующие трем стадиям развития трещины гидроразрыва. Первые три проекции, расположенные по вертикали, относятся к начальной стадии инициации и роста трещины гидроразрыва. Начальная стадия распространения трещины, инициированной закачкой маловязкого агента – жидкого СО2, происходит в довольно узком секторе, ориентированном в северовосточном направлении. Трещина, инициированная закачкой более вязкого сшитого геля ДС-1, имеет практически радиальную форму распространения (*Рисунок 3*, правый). Даная асимметрия роста трещины гидроразрыва в образце WG-707 также продемонстрирована на графиках г-ж (Рисунок 2).

Следующая стадия эксперимента, окончание которой соответствует моменту достижения трещиной гидроразрыва цилиндрической поверхности образца, демонстрирует сохранение тенденции однонаправленного (в пределах узкого сектора) распространения трещины в образце WG-707. Сектор роста трещины расширился, но сохранил направление. В образце WG-708 форма трещины сохранила радиальную форму, но сместилась от центра в северо-восточном направлении. Это смещение подтверждается независимыми измерениями осевой деформации, зафиксированными экстензометрами: Ext\_A (синий), установленный в направлении роста трещины, зафиксировал значительное удлинение образца, связанное с раскрытием трещины, равное 4,2 мкм. Ext\_B (красный) зарегистрировал удлинение образца на 1,6 мкм.

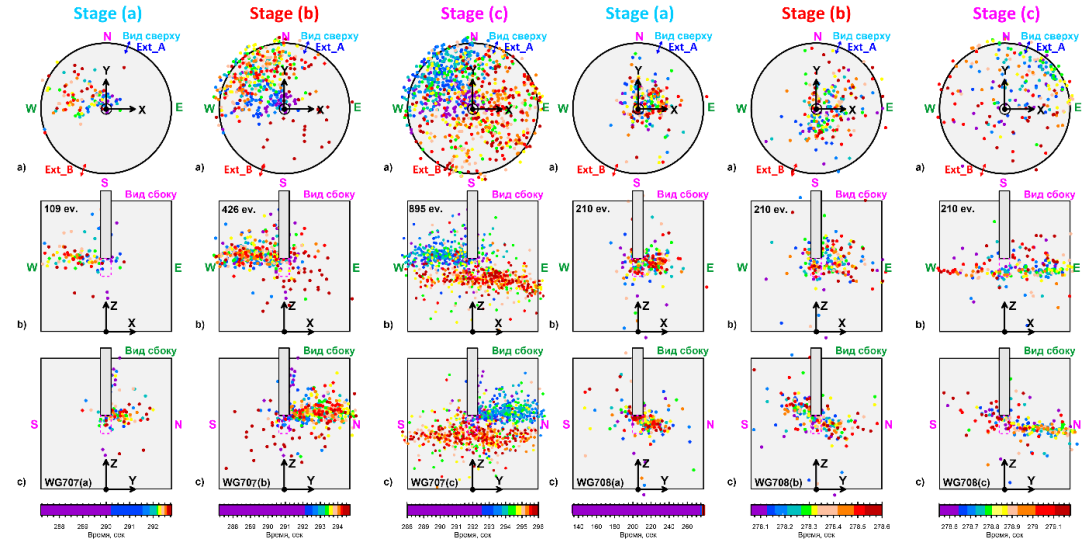


Рисунок 3. Три ортогональные проекции положений сигналов АЭ в пространстве образцов WG-707 (слева) и WG-708 (справа).

И последний набор проекций (по вертикали) относится к стадии закрытия трещины гидроразрыва, на котором сигналы АЭ для двух образцов были уже зарегистрированы по всей площади поперечного сечения образца.

Полученные локализации событий АЭ для двух образцов хорошо сопоставимы с фактическими положениями трещин гидроразрыва (*Рисунок 4*).

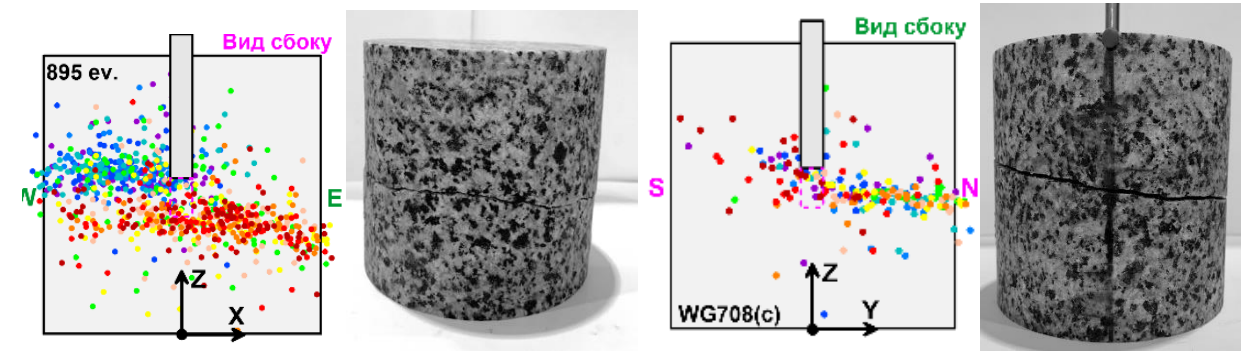


Рисунок 4. Фотографии образцов после экспериментов с горизонтальной трещиной WG-707 (слева) и WG-708 (справа).

**В разделе 3.2** представлены результаты экспериментов гидроразрыва и анализ параметров трещины, инициированной в цилиндрических образцах трещиноватого Ташмурунского гранита. Существующие исследования показали, что распространение трещины гидроразрыва в естественно трещиноватой среде является довольно сложным процессом и даже незначительная трещиноватость влияет на эффективность операций гидроразрыва. Чтобы повысить эффективность полевых работ, необходимо понять, как созданные в процессе ГРП трещины взаимодействуют с естественными трещинами, и подобрать оптимальные условия закачки жидкости.

Образцы TG-714h и TG-715h были нагреты со скоростью изменения температуры -2,72С/мин до 800°С и выдержаны на максимальной температуре три часа с для создания сети межзерновых трещин. *Рисунок* 5 демонстрирует фотографии гранита до и после нагрева.



Pucyнок 5. Внешний вид Ташмурунского гранита до нагрева (слева) и после нагрева до  $800^{\circ}$ С (справа).

Образец ТG-714h испытывался в сухом состоянии, а образец TG-715h перед экспериментом был насыщен минеральным маслом, которое в данном исследовании, использовалось в качестве модельного аналога пластовой жидкости и воспроизведения естественного состояния насыщения горной породы. В качестве агента гидроразрыва был выбран сшитый гель — дизельная система 3 (ДС-3), вязкость которого при 100 с<sup>-1</sup> составляет 1220 сП. Жидкость была закачана с постоянной скоростью 5 мл/мин. Условия

эксперимента задавались одинаковые для двух образцов:  $\sigma_1$ = $\sigma_2$ =22 МПа;  $\sigma_3$ =8 МПа, что соответствует осевому раскрытию трещины гидроразрыва.

Рисунок 6 демонстрирует сравнение параметров трещины гидроразрыва, зарегистрированных во время закачки жидкости в сухой (слева) и насыщенный (справа) трещиноватые образцы. Красные кривые (Рисунок ба-г) показывают, что на начальной стадии эксперимента давление жидкости линейно увеличивается и отклоняется от линейного тренда на более поздней стадии.

Анализ синих кривых (*Рисунок* 6в-е) показывает, что утечка жидкости в трещиноватую матрицу горной породы началась при давлениях 26,7 и 16,5 МПа, и скорости утекания жидкости составили 2,8 мл/мин и 1,8 мл/мин для сухого и насыщенного образцов соответственно. Поскольку скорость закачки жидкости была равна 5 мл/мин, то трещина гидроразрыва была успешно инициирована в двух трещиноватых образцах, однако, если предположить, что жидкость закачивалась бы в образец со скоростью равной или меньшей скорости утечки 1,8 мл/мин, то выполнить успешно гидроразрыв было бы невозможно поскольку вся закачанная жидкость полностью уходила бы в трещиноватую матрицу. Таким образом, наши экспериментальные исследования подтвердили, что утечку следует учитывать при гидроразрыве пласта коллекторов с высокой плотностью естественных трещин.

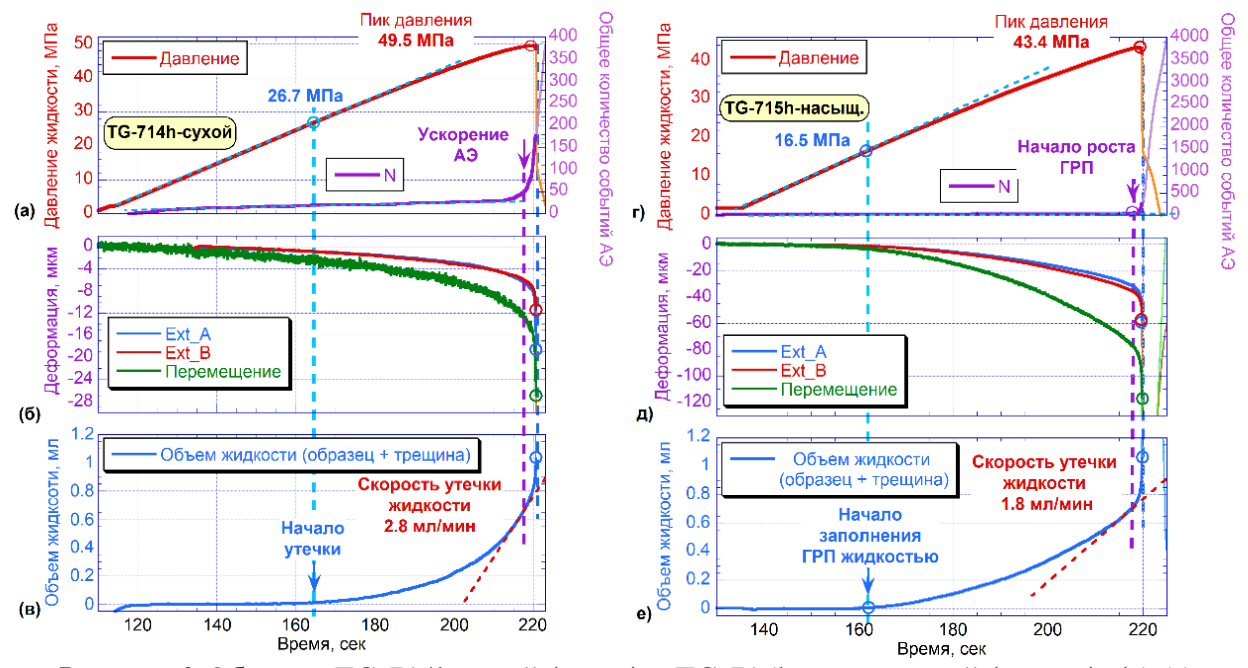


Рисунок 6. Образцы ТG-714h сухой (слева) и TG-715h насыщенный (справа): (а),(г) давление жидкости (красный) и общее количество залоцированных сигналов АЭ (фиолетовый); (б),(д) осевая деформация, измеренная слева (Ext\_B, красный) и справа (Ext\_A, синий) экстензометры и кривая, демонстрирующая положение загрузочного поршня (зеленый); (в),(е) объем жидкости в трещине гидроразрыва. Все параметры построены в зависимости от времени эксперимента.

Для лабораторных экспериментов гидроразрыва, описанных в разделах 3.1 –3.2, были напрямую измерены ключевые параметры гидроразрыва, такие как давление инициации трещины и давление гидроразрыва, осевая деформация образца, которая вызвана раскрытием трещины гидроразрыва, объем жидкости, закачанный в инициированную трещину, скорость распространения трещины. Эти измерения были зарегистрированы трехкомпонентной системы мониторинга напрямую и независимо друг

от друга, позволяют выполнять комплексный анализ динамики распространения трещины гидроразрыва, что подтверждает обоснованность и достоверность *первого научного положения*.

Раздел 3.3 посвящен анализу шероховатости и извилистости поверхности инициированных в цилиндрических образцах трещин гидроразрыва. Как было показано в существующих ранее исследованиях, на эффективность операций гидроразрыва также влияет подбор подходящей фракции проппанта и его доставка в трещины. Извилистость и шероховатость могут в значительной степени осложнять распределение проппанта в трещине. Поэтому в данном разделе была рассмотрена актуальная задача определения зависимости топографии поверхности трещины гидроразрыва от вязкости закаченной жидкости, которую необходимо учитывать при моделировании потока жидкости в трещине ГРП.

Среднеквадратичная шероховатость  $R_{rms}$ , была рассчитана по формуле

 $R_{rms} = \sqrt{\frac{1}{n} \sum_{i=1}^{n} (z_i - z_a)^2}$ , где  $z_i$  - высота і-й точки, а  $z_a$  - средняя высота плоскости наилучшего соответствия (best-fit). Извилистость определяется как отношение длины траектории трещины, представляющей собой ломаную линию, к длине кратчайшего расстояния между начальной и конечной точками траектории трещины, представляющего собой прямую линию. Для расчета было выделено подмножество точек, лежащих вдоль самой крутой линии, и рассчитана сумма 3D-расстояний между соседними точками. Для получения значения извилистости полученное значение было разделено на сумму 2D-расстояний между соседними точками того же подмножества.

Так как все цилиндрические образцы перед испытанием помещались в непроницаемую оболочку, отделяющую их от обжимающей жидкости, то по достижении трещиной боковой поверхности жидкость распределяется по поверхности образца, изменяя напряженное состояние в нем. Поэтому, для достоверного расчета шероховатости и извилистости был выделен начальный сектор распространения трещины по данным АЭ, когда жидкость гидроразрыва еще не достигла боковой поверхности образца.

Связь между вязкостью агента гидроразрыва и рассчитанной среднеквадратичной шероховатостью ( $R_{rms}$ ) не выявлена в пределах выбранного сектора ( $Pucyhok\ 7$ ). По всей видимости, решающее значение в определении шероховатости в данном случае имеет средне-крупнозернистая структура Покостовского гранита.

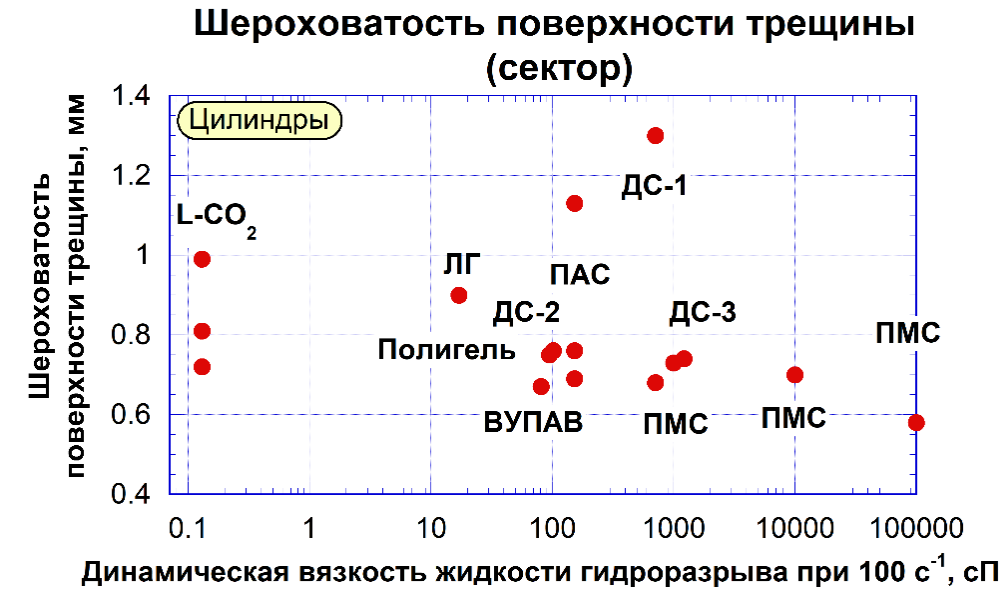


Рисунок 7. Взаимосвязь шероховатости образовавшейся поверхности трещины гидроразрыва и вязкости (в пределах выбранного сектора).

Извилистость трещины хорошо взаимосвязана с реологией закачиваемой жидкости: извилистость уменьшается с увеличением вязкости агента гидроразрыва ( $Pucyhok\ 8$ ).

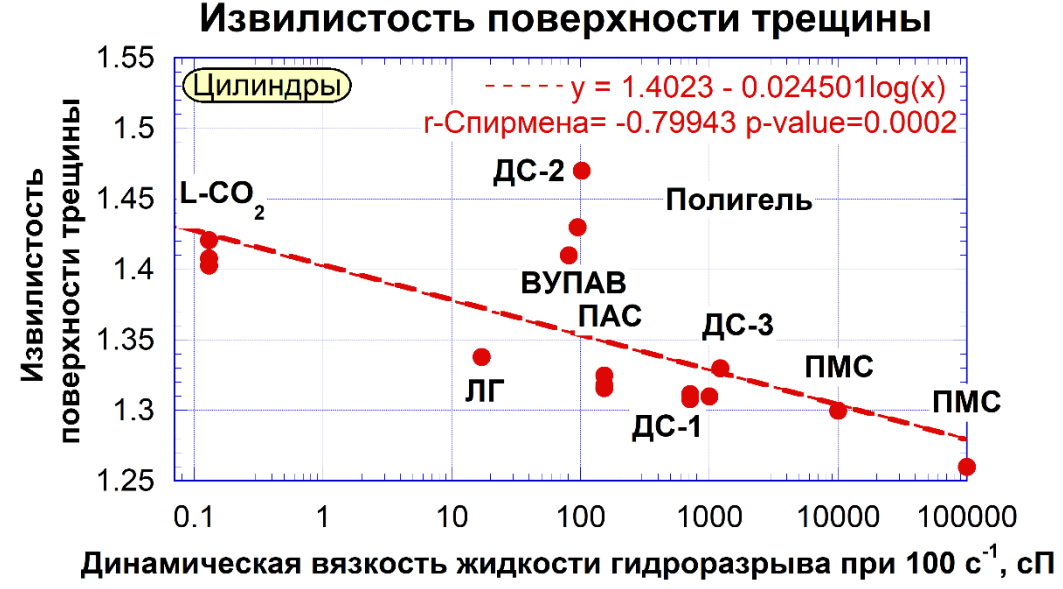


Рисунок 8. Взаимосвязь извилистости образовавшейся поверхности трещины гидроразрыва и вязкости.

Стоит помнить, что значительная извилистость в сочетании с недостаточным раскрытием трещины гидроразрыва при закачке агентов гидроразрыва с низкой вязкости может негативно отразиться на доставке и распределении проппанта. Поэтому необходимо учитывать топологию трещины при моделировании потока жидкости в трещине ГРП. Экспериментально показано, что закачка маловязких жидкостей индуцирует трещины гидроразрыва с большей извилистостью поверхности, что в масштабах резервуара будет воплощаться в геометрически сложную сеть трещин. Приведенные результаты подтверждают обоснованность и достоверность второго научного положения.

**Четвертая глава** посвящена анализу параметров трещины гидроразрыва, инициированной в кубических образцах Ташмурунского гранита ( $25\text{cm} \times 25\text{cm}$ ). Лабораторные испытания проводились на кубических образцах в истинно трехосных условиях  $\sigma_1$ =12 МПа,  $\sigma_2$ =8 МПа,  $\sigma_3$ =4 МПа. Скорость закачки жидкости была постоянной и составляла 5 мл/мин. Агенты гидроразрыва, использованные в данной части исследования: жидкий  $CO_2$ , ЛГ, ПАС, ДС-1. Сравнение результатов, полученных на цилиндрах диаметром 10 см и на кубических образцах, длина грани которых составляет 25 см, может быть использовано для калибровки масштабирования моделей распространения трещины ГРП.

Анализ зарегистрированных во время эксперимента параметров (*Рисунок 9*) показывает большее значение давления гидроразрыва при закачке в кубический образец более вязкого сшитого геля ДС-1. Также при закачке более вязкого агента было зарегистрировано практически в пять раз большее количество сигналов АЭ. Различие в значениях скорости роста трещины гидроразрыва не было зарегистрировано.

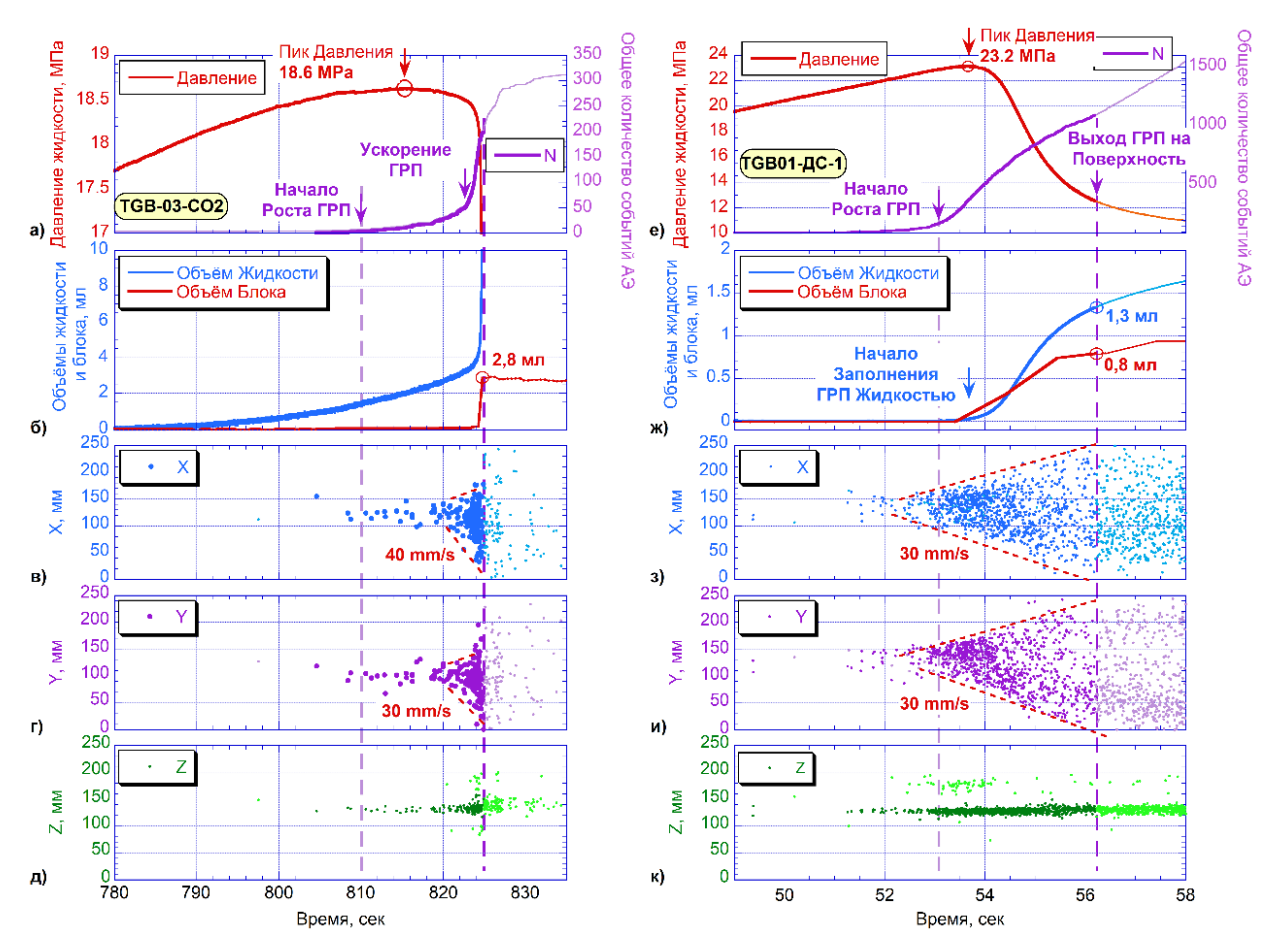


Рисунок 9. Образцы ТGВ-03-CO<sub>2</sub> (слева) и ТGВ-01-ДС-1 (справа): (а),(е) давление закачанной жидкости (красный цвет) и суммарное количество залоцированных сигналов АЭ (фиолетовый); (б),(ж) объём жидкости, выдавленной из плоских домкратов (красный), и объём жидкости в трещине гидроразрыва (голубой); (в),(з) горизонтальные координаты залоцированных сигналов АЭ по направлению X; (г),(и) горизонтальные координаты залоцированных сигналов АЭ по направлению Y; (д),(к) вертикальные координаты залоцированных сигналов АЭ. Все параметры построены от времени эксперимента.

Рисунок 10 демонстрирует три ортогональные проекции распределения залоцированных сигналов АЭ в пространстве для трех стадий эксперимента. На стадии (a)

наблюдается меньшее число акустических события при закачке маловязкого агента гидроразрыва, чем при закачке более вязкого ДС-1. На стадии (ab) количество акустических событий увеличилось в 2 раза для обоих образцов. На стадии (c) показана наибольшая активность АЭ, наблюдаемая после достижения трещиной гидроразрыва поверхности блока.

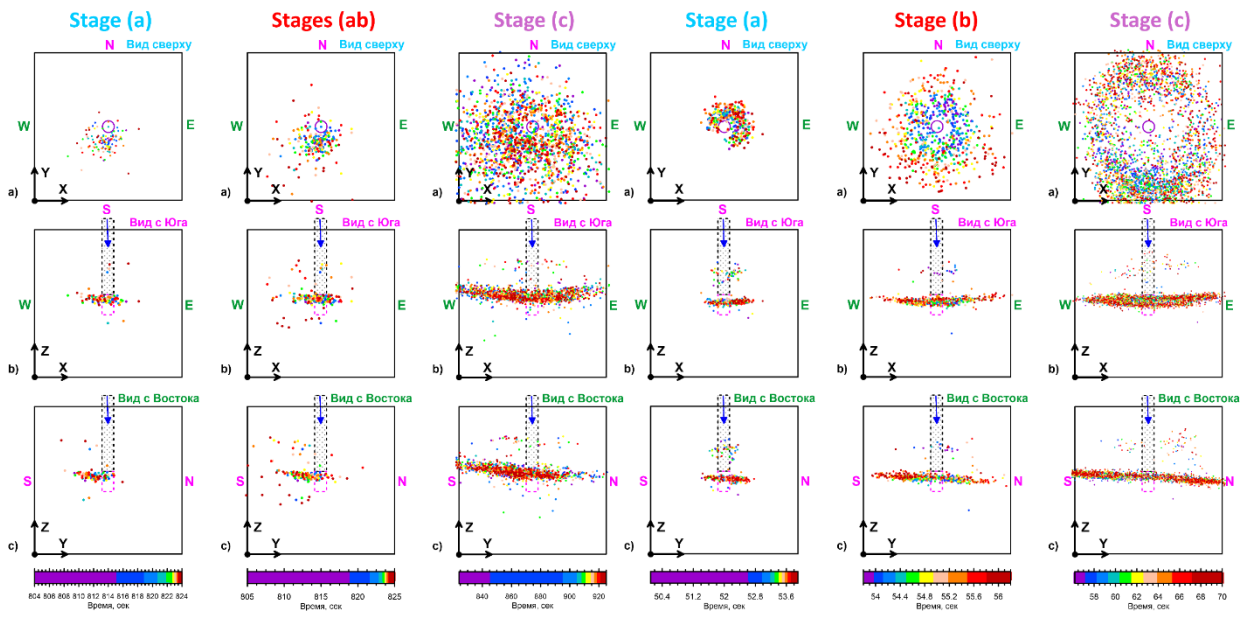


Рисунок 10. Три ортогональные проекции положения залоцированных сигналов АЭ в пространстве для образцов TGB-03- CO<sub>2</sub> (слева) и TGB-01-DS (справа) для трёх стадий развития трещины гидроразрыва: (a), (ab), (c), соответственно.

*Рисунок 11* демонстрирует хорошее соответствие между залоцированными сигналами АЭ и инициированной трещиной, показанной на фотографиях нижней части разрушенных блоков.

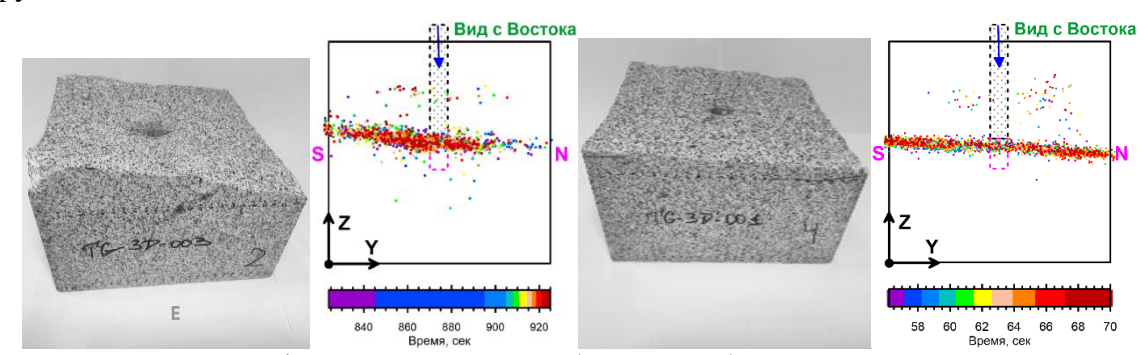
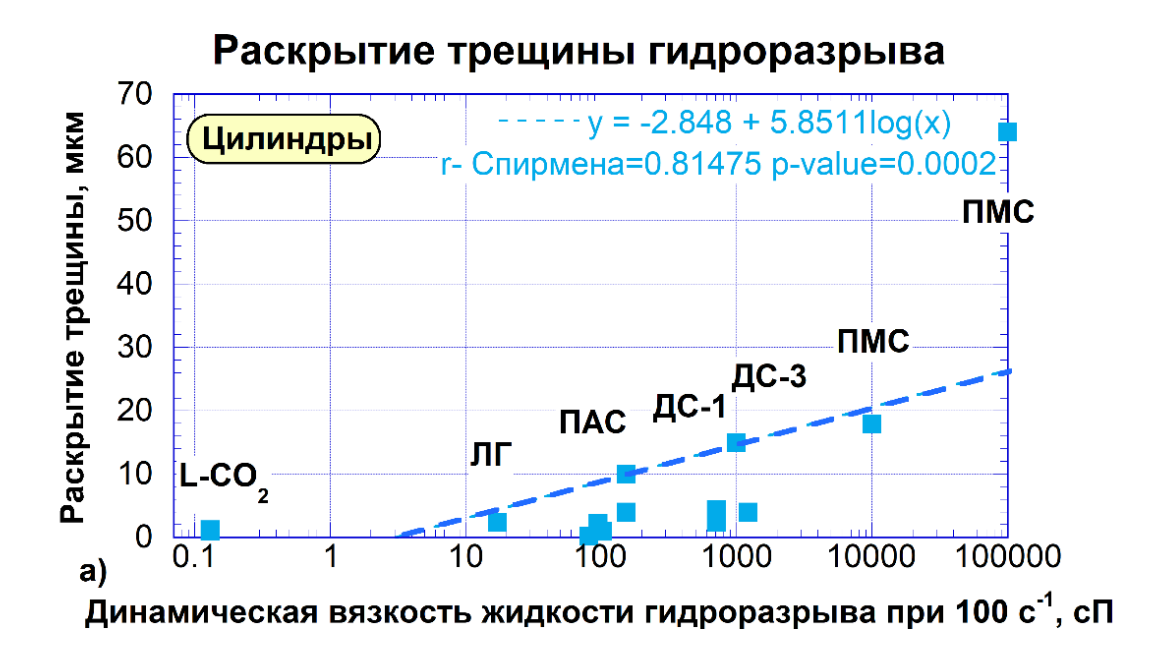


Рисунок 11. Фотография нижней части кубических образцов Ташмурунского гранита TGB-03-CO<sub>2</sub> (слева) и TGB-01-ДС-1 (справа) после эксперимента гидроразрыва и соответствующая ей проекция АЭ.

Сопоставление результатов экспериментов гидроразрыва, полученных на цилиндрических образцах диаметром 10 см и на кубических образцах, длина грани которых составляет 25 см, демонстрирует похожие линейные зависимости между параметрами трещины и вязкостью закачиваемого агента. При сравнении результатов, полученных в псевдо-трехосной и истинно трехосной системах нагружения, закачка более вязкого агента гидроразрыва вызывает большее удлинение образцов, напрямую связанное с раскрытием инициируемой трещины гидроразрыва (Рисунок 12).



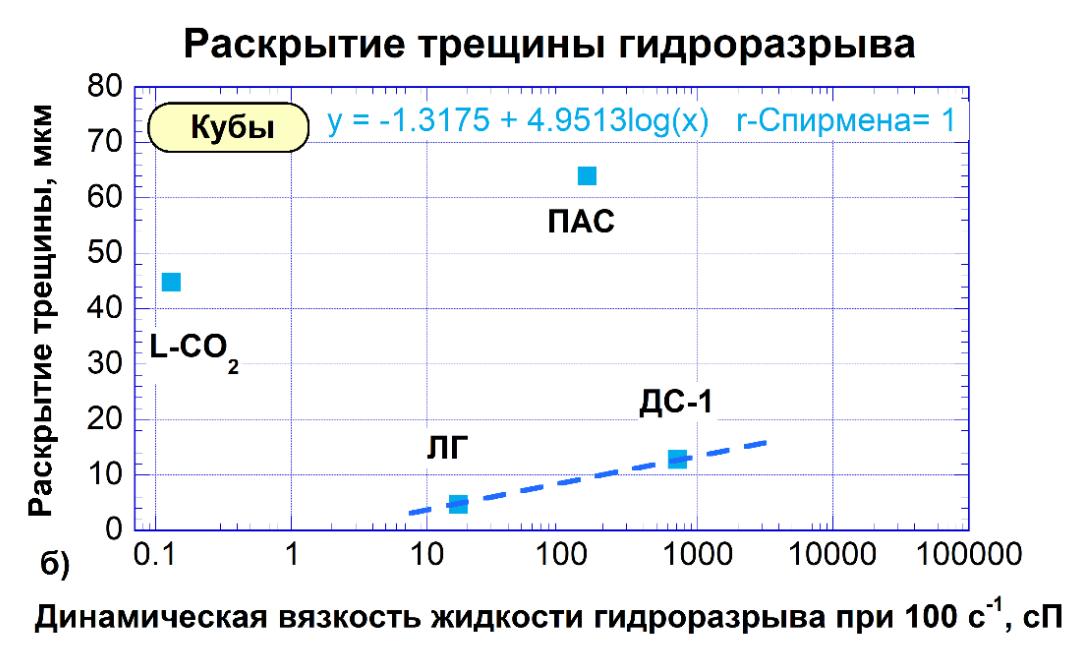
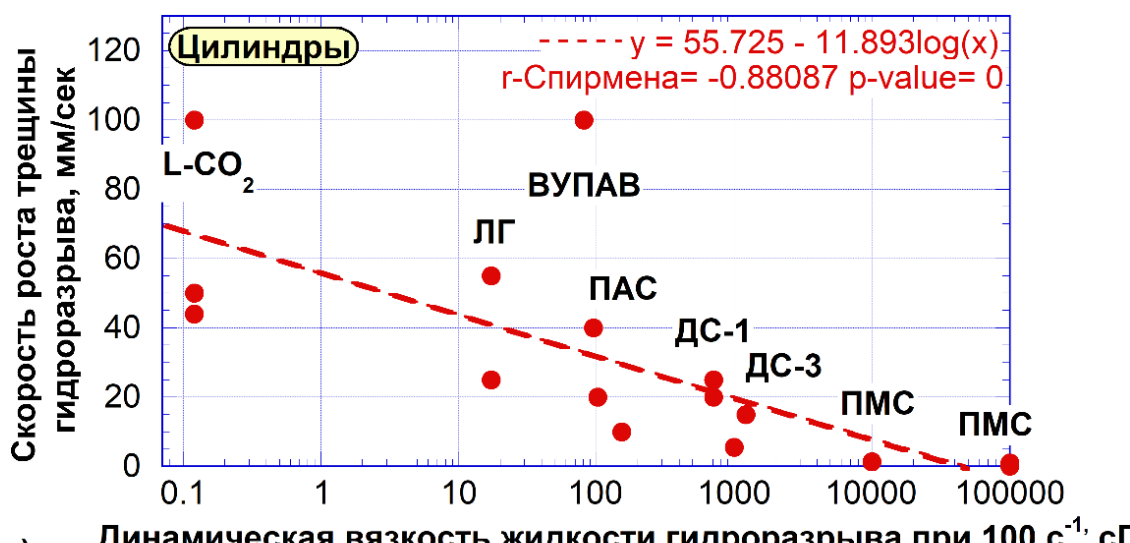


Рисунок 12. Взаимосвязь раскрытия трещины гидроразрыва и вязкости закачиваемой жидкости для образцов цилиндрической (а) и кубической формы (б).

Также была выявлена похожая ниспадающая взаимосвязь между скоростью роста трещины и вязкость инициирующего ее агента, независимо от формы образца и нагружательной установки (Рисунок 13). Следует отметить, что для цилиндрических образцов была получена более достоверная корреляция.

### Скорость роста трещины гидроразрыва



Динамическая вязкость жидкости гидроразрыва при 100 с<sup>-1,</sup> сП a)

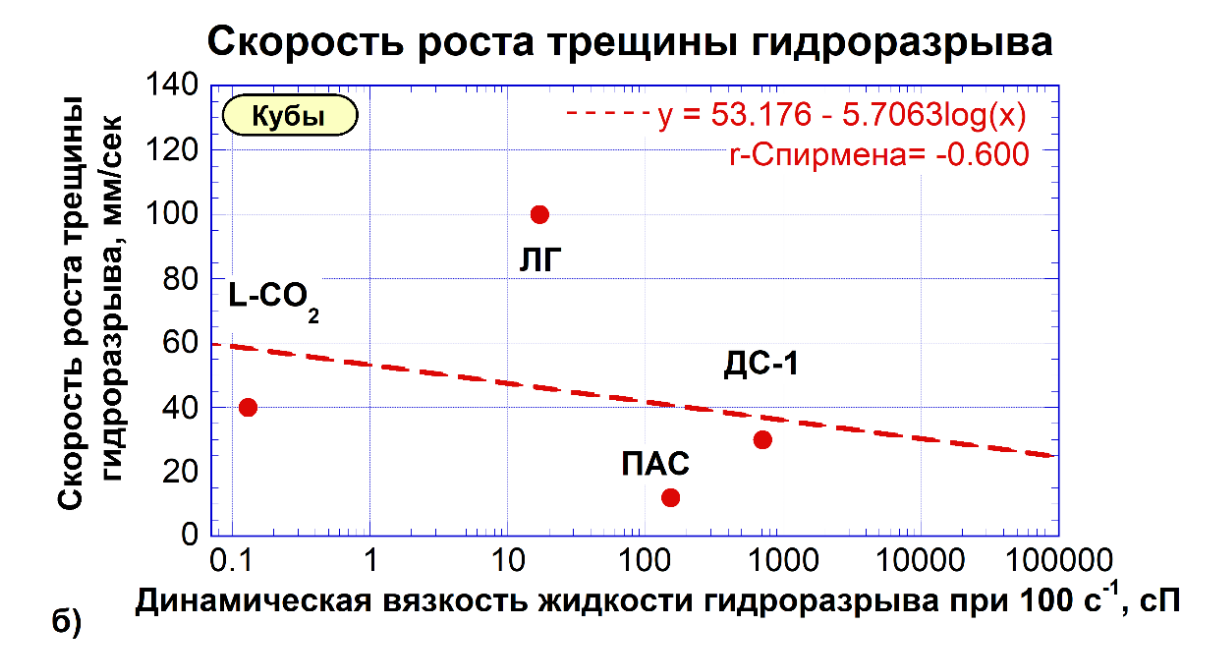
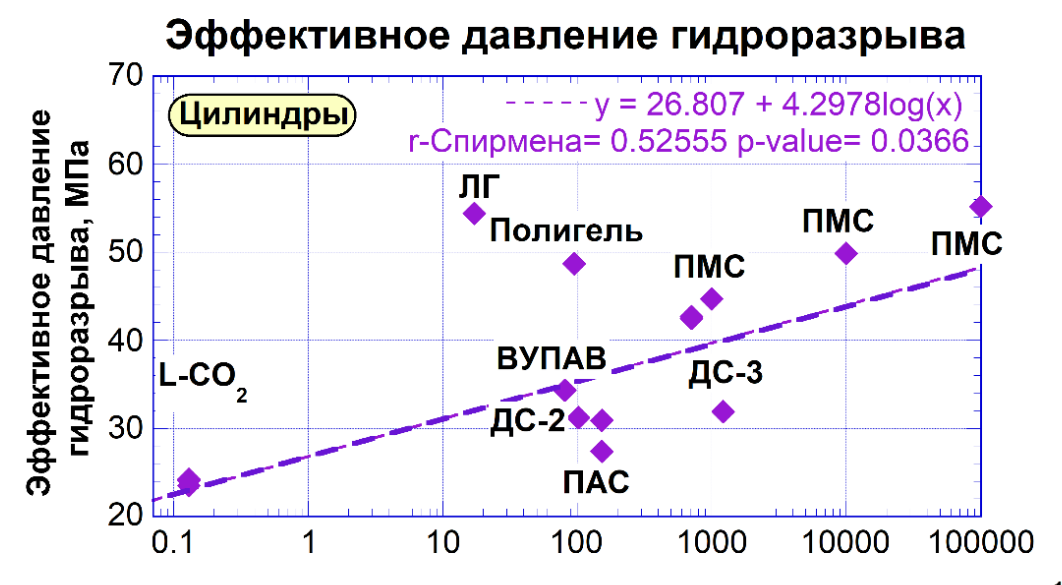


Рисунок 13. Взаимосвязь скорости роста трещины гидроразрыва и вязкости закачиваемой жидкости для образцов цилиндрической (а) и кубической формы (б).

Для сопоставления значений давления гидроразрыва  $P_b$  (максимальное давление жидкости в стволе скважины) были рассчитаны эффективные значения давления гидроразрыва  $P_{net}$  по формуле  $P_{net} = P_b - \sigma_3$ , где  $\sigma_3$  – минимальное главное напряжение. Следует отметить общую закономерность увеличения значений давления гидроразрыва с увеличением вязкости инициирующей гидроразрыв жидкости (Рисунок 14). Однако, были обнаружены различия в абсолютных значениях эффективных давлений гидроразрыва для цилиндров и кубов при закачке одинаковых жидкостей. Это может быть связано как с различием в геометрии образцов/скважин, так и с наличием надрезов, направляющих трещины гидроразрыва, а также с различием жесткостей систем закачки и поддержания давления.



а) Динамическая вязкость жидкости гидроразрыва при 100 с<sup>-1</sup>, сП

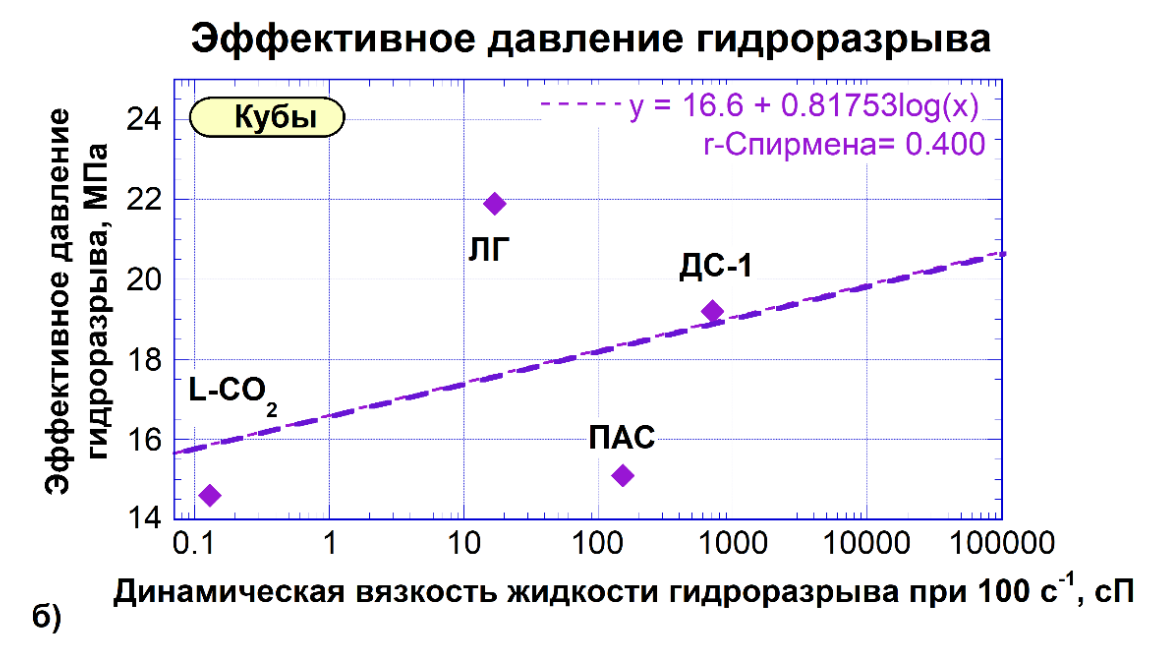


Рисунок 14. Взаимосвязь эффективного давления образования трещины гидроразрыва и вязкости закачиваемой жидкости для образцов цилиндрической (а) и кубической формы (б).

Взаимосвязи, полученные для цилиндрических образцов, испытанных в псевдотрехосных условиях, подтверждаются взаимосвязями, полученным для кубических образцов, испытанных в истинно трехосных условиях. Все полученые зависимости были получены впервые для исследованных горных пород и представленного набора жидкостей и могут быть использованы для верификации модели гидроразрыва. Приведенные результаты подтверждают обоснованность и достоверность *третьего научного положения*.

**Пятая глава** посвящена лабораторным исследованиям параметров трещины гидроразрыва, инициируемой в образцах осадочных пород — сланце и песчанике.

**В разделе 5.1** рассматривается влияние слоистости, природных трещин, включений на параметры и динамику трещины гидроразрыва. Исследования проводились на шести цилиндрических образцах (5 см×10 см) сланцев, отобранных из Ерусланской скважины, но с разных интервалов глубины. Это отразилось на литологическом описании и прочностных свойствах образцов. Лабораторные испытания проводились в псевдотрехосных условиях, близких к условиям их естественного залегания:  $\sigma_1$ = 54,8 МПа,  $\sigma_2$ = $\sigma_3$ =27,4 МПа. В данном эксперименте раскрытие трещины происходила в вертикальном направлении. Скорость закачки жидкости была постоянной и составляла 5 мл/мин. Чтобы достичь немеченой цели представленного в данном разделе исследования, в образцы закачивался один агент гидроразрыва — минеральное масло (вязкость 46 сП).

Рисунок 15 демонстрирует сравнение параметров трещины гидроразрыва, полученные в образцах сланцев ARE-3R1 и ARE-8R1. В образце ARE-3R1 трещина распространялась симметрично, в то время как в образце ARE-8R1 трещина росла по направлению в верхнем торце (в верхней половине образца). Это вызвало значительные различия в раскрытии трещины.

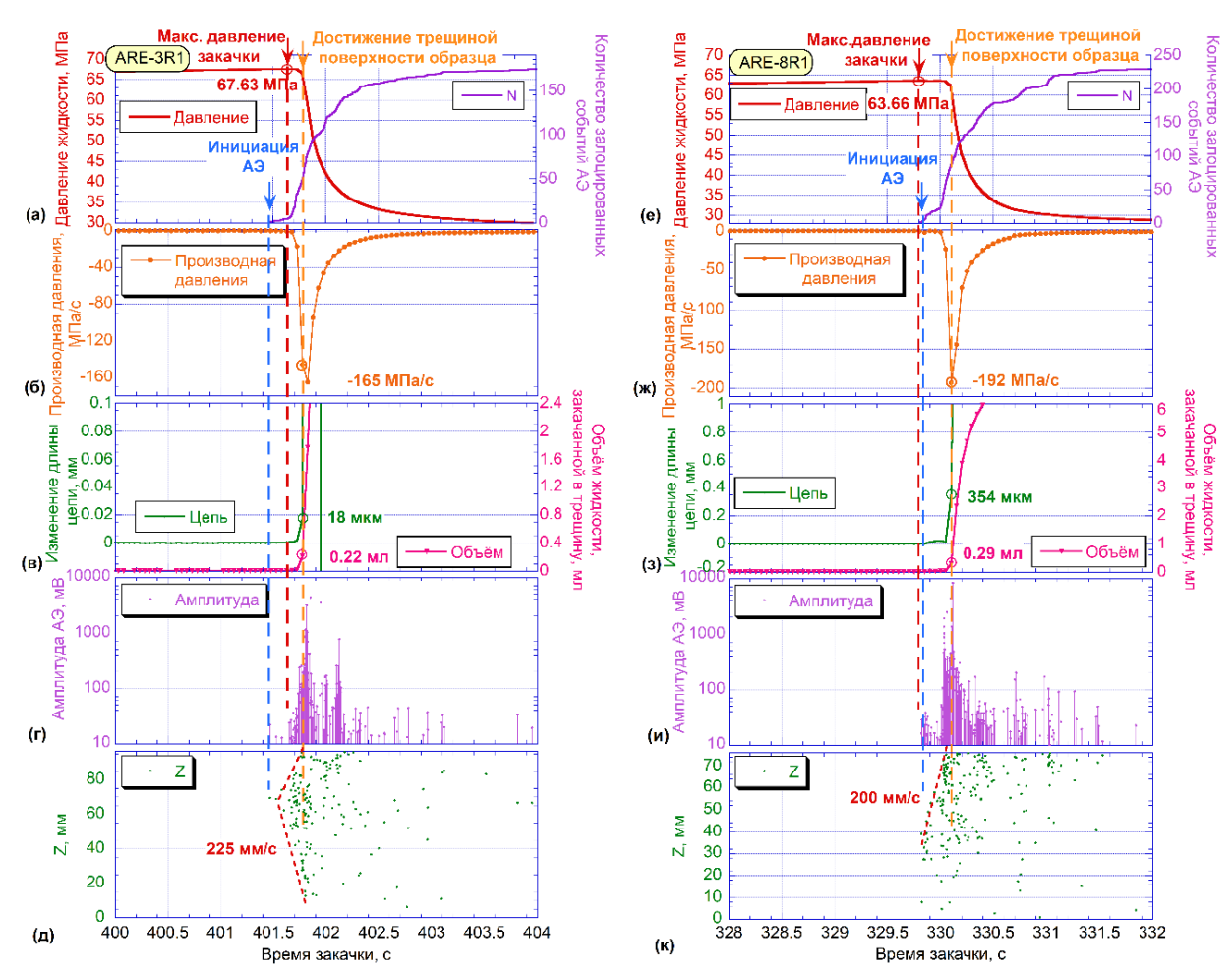


Рисунок 15. В левом столбце показаны результаты ARE-3R1, а в правом столбце - результаты ARE-8R1. (а),(е) Давление закачиваемой жидкости (красный) и общее количество локализованных сигналов АЭ (фиолетовый); (б),(ж) скорость изменения давления в стволе скважины; (в),(з) изменение длины цепи (поперечного деформометра) (зеленый) и объема жидкости, поступившей в трещину гидроразрыва (пурпурный); (г),(и) амплитуда сигналов АЭ; (д),(к) вертикальные координаты локализованных сигналов АЭ.

Все параметры отображаются в зависимости от времени тестирования образца.

Кроме того, в исследовании была получена взаимосвязь между прочностными свойствами сланцевых образцов — пределом прочности на растяжение (Бразильский тест) и характеристиками инициированной в них трещины гидроразрыва —давлением гидроразрыва. Было показано, что в образце сланца, которому характерно большее значение предела прочности на растяжение, трещина будет формироваться при большем значении давления гидроразрыва  $P_b$  (*Рисунок 16*).

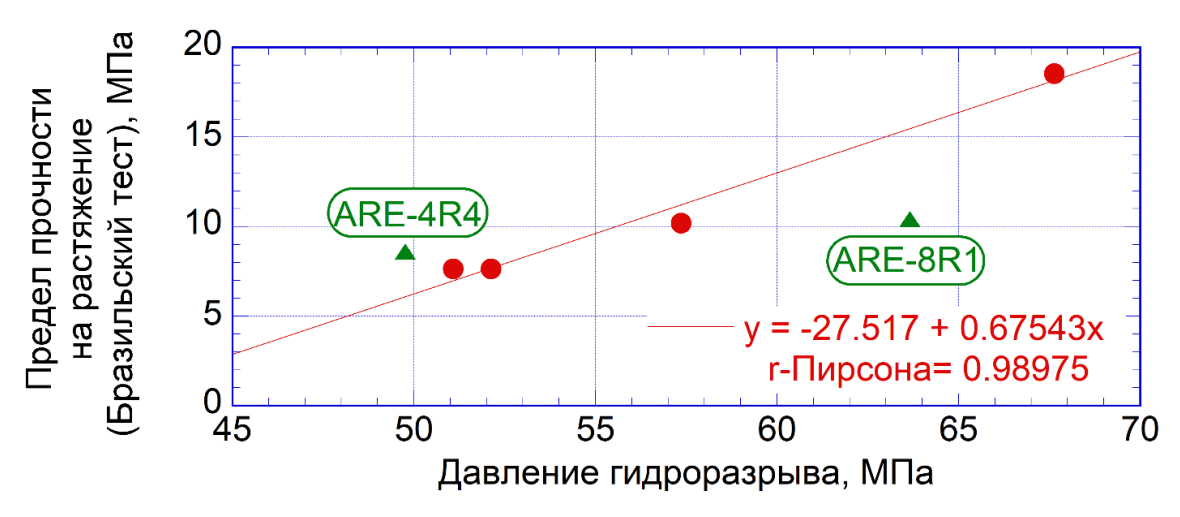


Рисунок 16. Взаимосвязь прочности на растяжение и давления гидроразрыва.

*Рисунок 17* демонстрирует фотографии образцов сланцев ARE-3R1 и ARE-8R1 после эксперимента.

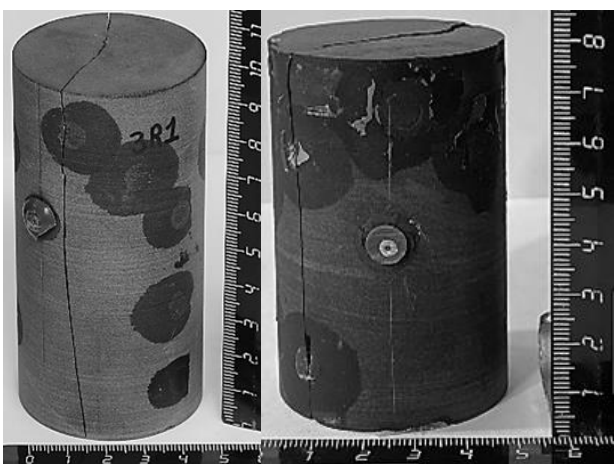


Рисунок 17. Фотографии образцов сланцев ARE-3R1 и ARE-8R1 после эксперимента.

**В разделе 5.2** изучалось влияние насыщенности горной породы и вязкости закачиваемого агента гидроразрыва на параметры инициированной трещины в четырех цилиндрических образцах песчаника. Часть цилиндрических образцов однородного песчаника (8 см×10 см) насыщалась минеральным маслом, воссоздавая состояние естественного флюидонасыщения горной породы, а вторая часть тестировалась в сухом состоянии. Лабораторные испытания проводились в псевдо-трехосных условиях  $\sigma_1$ = $\sigma_2$ =22 МПа,  $\sigma_3$ =8 МПа. Скорость закачки жидкости была постоянной и составляла 5 мл/мин. Агенты гидроразрыва, использованные в данной части исследования: ДС-3, ПМС-10 000, ПМС-100 000 (*Pucyнок 18*).

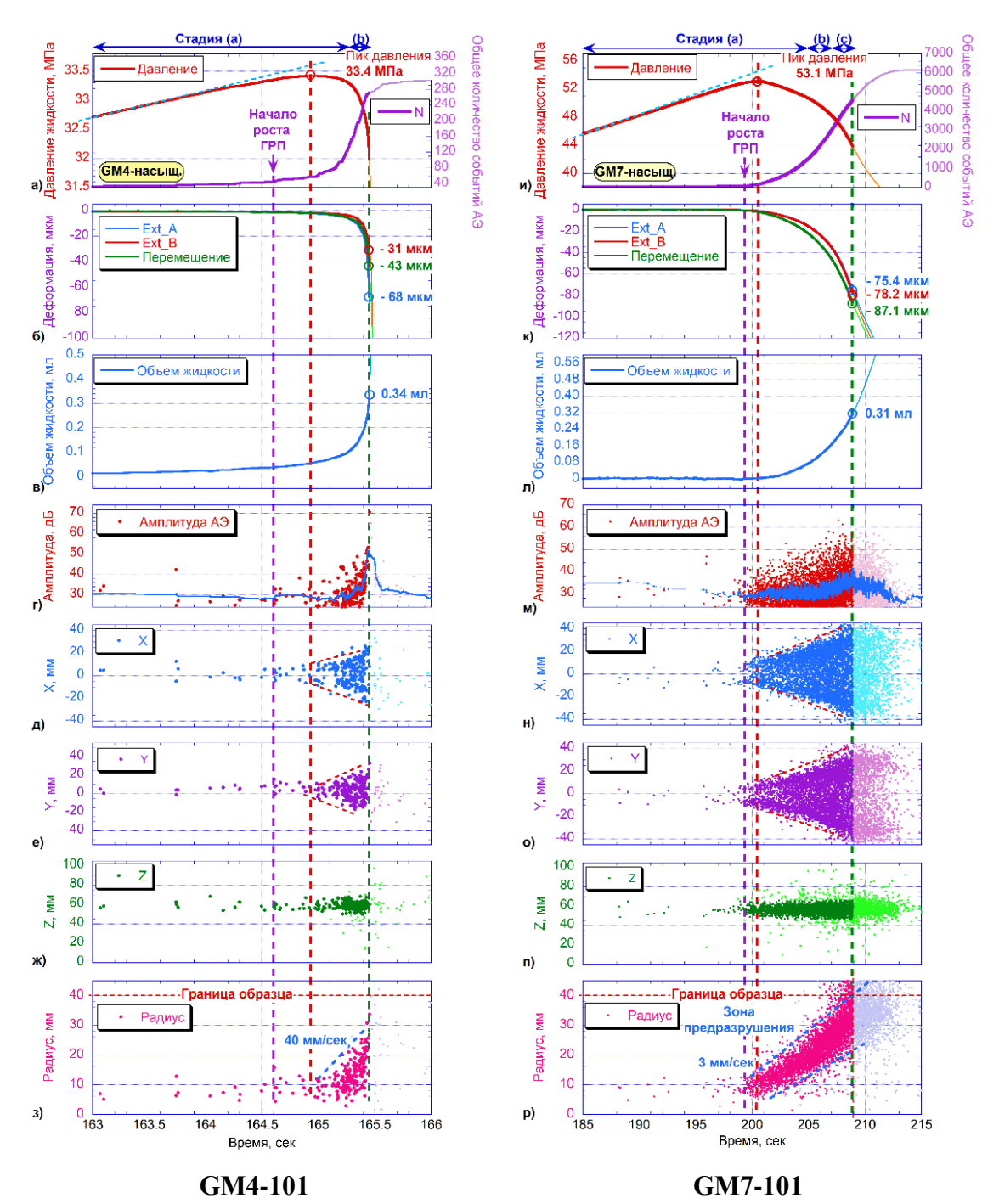


Рисунок 18. Параметры, зарегистрированные при закачке сшитого геля ДС-3 (GM4-101, левая колонка) и силиконового масла ПМС-100 000 (GM7-101, правая колонка): (а),(и) давление жидкости гидроразрыва (красный) и общее количество обнаруженных сигналов АЭ (фиолетовый); (б),(к) осевые деформации, измеренные левым (Ext\_B, красный) и правым (Ext\_A, синий) экстензометрами, и кривая, показывающая положение поршня (зеленый); (в),(л) объем жидкости в трещине; (г),(м) амплитуды сигналов АЭ; (д),(н) горизонтальные координаты залоцированных сигналов АЭ в направлении X; (е),(о) горизонтальные координаты залоцированных сигналов АЭ в направлении Y; (ж), (п) вертикальные координаты локализованные сигналы АЭ; (з),(р) распределение расстояний между залоцированными сигналами АЭ и осью образца. Все параметры отображаются в зависимости от времени эксперимента.

При закачке менее вязкого ДС-3 наблюдалось меньшее значение давления гидроразрыва  $P_b$  (*Рисунок 18*а, красная кривая), меньшее раскрытие трещины (*Рисунок 18*б) и большая скорость распространения трещины гидроразрыва (*Рисунок 18*з) по

сравнению с аналогичными параметрами, представленными в правой колонке графиков, зарегистрированными при закачке более вязкого агента гидроразрыва — ПМС-100 000. Полученные результаты демонстрируют, что в лабораторных условиях возможно осуществить прямые измерения ключевых параметров трещины гидроразрыва (эффективное давление гидроразрыва, раскрытие трещины, скорость роста трещины) и выполнить экспериментальную проверку моделей распространения трещины ГРП, инициируемой жидкостями с различными реологическими свойствами.

19 демонстрирует три ортогональные Рисунок проекции положения залоцированных сигналов акустической эмиссии (АЭ) во времени, соответствующие стадиям развития трещины гидроразрыва. Стоит отметить, что в обоих образцах песчаника были инициированы радиальные трещины гидроразрыва, что свойственно при закачке вязких агентов гидроразрыва. Однако, в образце GM7-101 можно проследить очень четкий фронт предразрушения трещины (Fracture process zone). Заметим, что в случае закачки высоковязкой жидкости существование запаздывания между зоной фронтом распространения жидкости было экспериментально предразрушения и подтверждено ранее известными исследованиями. Принимая во внимание симметрию деформации образца, можно предположить, что в данных экспериментах фронт жидкости также распространяется радиально.

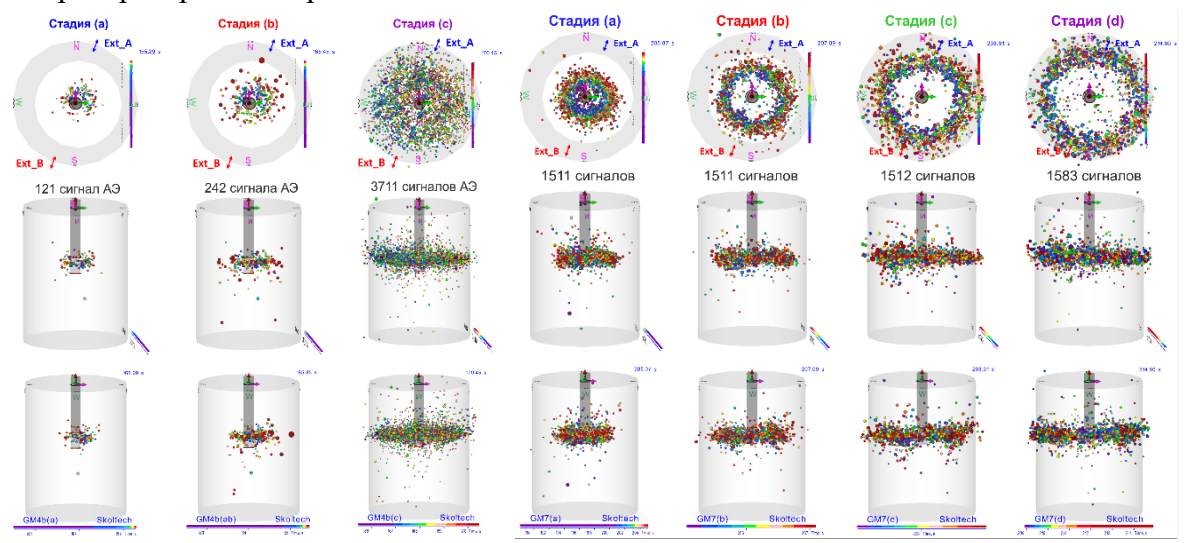


Рисунок 19. Три ортогональные проекции положений сигналов АЭ в пространстве образцов GM4-101 (слева) и GM7-101 (справа).

*Рисунок* 20 демонстрирует фотографии образцов омских песчаников после экспериментов. Стоит отметить, залоцированые сигналы АЭ повторяют геометрию инициированной трещины.

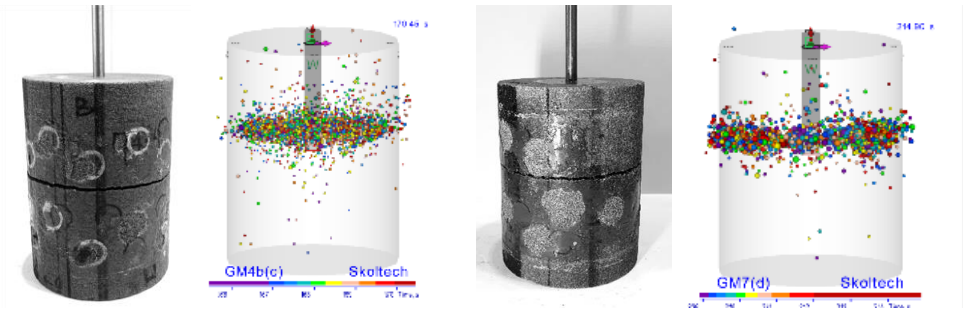


Рисунок 20. Фотографии образцов песчаника GM4-101 и GM7-101 после эксперимента и аналогичные проекции залоцированных акустических сигналов.

#### **ЗАКЛЮЧЕНИЕ**

В диссертации, являющейся законченной научно-квалификационной работой, на основании выполненных автором экспериментальных исследований содержится решение актуальной научной задачи выявления закономерностей изменения параметров трещины гидроразрыва от вязкости инициирующей жидкости в условиях псевдо-трехосных и истинно трехосных условий нагружения, что имеет важное значение для развития методов гидроразвыва массивов горных пород и освоения ресурсов Земли в целом.

Основные научные результаты работы и выводы, полученные лично автором, заключаются в следующем:

- 1. Разработана специальная методика проведения лабораторных экспериментов гидроразрыва в полноразмерном керне (10 см×10 см) и в блоках породы (25 см×25 см) с обеспечением непрерывного мониторинга параметров роста трещины гидроразрыва тремя независимыми наблюдения: датчиками акустической эмиссии системами ультразвукового прозвучивания; датчиками осевой и радиальной деформации образца во время роста трещины и датчиками давления и объема жидкости гидроразрыва. Разработанная методика позволяет проводить прямые и независимые измерения ключевых параметров трещины гидроразрыва (эффективное давление гидроразрыва, раскрытие трещины, скорость роста трещины) в образцах целевых горных пород с точностью 5 мм и выполнять комплексный анализ динамики её распространения в псевдотрехосных и истинно трехосных условиях нагружения.
- 2. Экспериментально установлена взаимосвязь эффективного давления гидроразрыва от вязкости агента гидроразрыва. Более высокое эффективное давление гидроразрыва наблюдалось в экспериментах с закачкой более вязкой жидкости. Наименьшее эффективное давление гидроразрыва было зафиксировано при испытании с закачкой жидкого СО<sub>2</sub>.
- 3. Экспериментально установлена взаимосвязь раскрытия трещины гидроразрыва и вязкости агента гидроразрыва. Закачка высоковязких жидкостей гидроразрыва обеспечивает большее раскрытие трещины и, как правило, больший объем жидкости был закачан в трещину до того, как трещина достигла поверхности образца.
- 4. Акустическая эмиссия (АЭ) увеличилась за несколько секунд до того, как было зафиксировано максимальное давление в скважине, что указывает на начало (инициацию) гидроразрыва пласта.
- 5. Экспериментально установлена взаимосвязь скорости распространения трещины гидроразрыва и вязкости агента гидроразрыва. Более высокая скорость распространения трещины гидроразрыва была обнаружена в экспериментах с закачкой жидкости низкой вязкости. Самое быстрое распространение трещины было зафиксировано в испытаниях с закачкой СО<sub>2</sub> и дистиллированной воды.
- 6. Показано, что сложность геометрии трещины полностью зависит от вязкости жидкости. Экспериментально установлено, что закачка жидкости гидроразрыва с низкой вязкостью обычно приводит к образованию более извилистых трещин.
- 7. Показано, что экспериментально выявленная утечка маловязких агентов гидроразрыва должна приниматься во внимание при проектировании закачки таких агентов в трещиноватые коллекторы.

8. Разработана методика проведения лабораторных экспериментов по инициации трещины гидроразрыва на образцах целевых горных пород, с целью оптимизации операций гидроразрыва пласта.

## Основные положения диссертации изложены в следующих опубликованных работах:

- в рецензируемых научных периодических изданиях, рекомендованных ВАК Минобрнауки России, а также индексируемых в наукометрических базах Scopus и Web of Science:
- 1. **Шевцова А.А.** Методика лабораторных исследований поведения трещины гидроразрыва, инициированной закачкой жидкостей в широком диапазоне их вязкостей // Горный информационно-аналитический бюллетень. 2023. № 7 (специальный выпуск №8), 20 с.
- 2. Bobrova M., Stanchits S., **Shevtsova A.**, Filev E., Stukachev V., Shayahmetov T. Laboratory Investigation of Hydraulic Fracture Behavior of Unconventional Reservoir Rocks // Geosciences. 2021. Т. 11. № 7. https://doi.org/10.3390/geosciences11070292 (Квартиль по SJR Q2).
- 3. **Shevtsova A.**, Stanchits S., Bobrova M., Filev E., Borodin S., Stukachev V., Magadova L. Laboratory Study of the Influence of Fluid Rheology on the Characteristics of Created Hydraulic Fracture // Energies. 2022. T. 15. № 11. https://doi.org/10.3390/en15113858 (Квартиль по SJR Q2).
- 4. **Shevtsova A.**, Stanchits S., Filev E., Karamov T., Stukachev V., Spasennykh M. Assessment of Saturation Effect on Hydraulic Fracturing in Sandstone and Thermally Treated Granite // Minerals. 2023. T. 13. № 6. https://doi.org/10.3390/min13060777 (Квартиль по SJR Q2).
  - в других изданиях:
- 5. Dotsenko A., Stukachev V., Andrade De Carli J. C., **Shevtsova A.**, Charara M. Analysis of Time-Dependent Behavior of Dynamic and Static Parameters of Preheated Westerly Granite for Microseismic Fracture Monitoring Experiments // SPE Russ. Pet. Technol. Conf. 2018. https://doi.org/10.2118/191721-18RPTC-MS (Scopus).
- 6. Bobrova, M., Filev, E., **Shevtsova, A.**, Stanchits, S., Stukachev, V., and Lecampion, B.: Influence of injection parameters on the dynamics of Hydraulic Fracturing monitored by Acoustic Emission // EGU General Assembly 2020, Online, 4–8 May 2020, EGU2020-9423. https://doi.org/10.5194/egusphere-egu2020-9423, 2020.
- 7. **Shevtsova**, **A.**, Filev, E., Bobrova, M., Stanchits, S., and Stukachev, V.: Laboratory study of Hydraulic Fracture interaction with artificial interfaces // EGU General Assembly 2020, Online, 4–8 May 2020, EGU2020-9408. https://doi.org/10.5194/egusphere-egu2020-9408, 2020.